

DOI: 10.54503/0571-7132-2023.66.1-16

## ОПТИЧЕСКАЯ КЛАССИФИКАЦИЯ VZG ОБЪЕКТОВ ИЗ КАТАЛОГА БЛАЗАРОВ VZCAT

А.В.АБРАМЯН, А.М.МИКАЕЛЯН, Г.М.ПАРОНЯН,  
Г.А.МИКАЕЛЯН, А.Г.СУКИАСЯН

Поступила 7 декабря 2022

Принята к печати 3 февраля 2023

В каталоге блазаров VZCAT объекты разделены на 4 типа: VZB, VZQ, VZG и VZU. В данной работе исследуются объекты VZG с целью определения их физической природы. Из 274 VZG объектов 150 имеют оптические спектры в спектроскопическом каталоге SDSS, для которых была проведена детальная спектральная классификация. Радио исследование показало, что эти объекты в основном (69%) имеют плоский радио спектр со спектральным индексом меньше, чем  $\pm 0.5$ . С такими радио спектрами доминируют квазары. Но, с увеличением расстояния, в среднем радио спектр становится более крутым.

**Ключевые слова:** *блазар: квазар: оптическая спектральная классификация: радио спектральный индекс*

**1. Введение.** Среди активных галактических ядер (АЯГ) наиболее интересны блазары с комбинациями двух подтипов: а) объекты BL Lac (BLL) и особые типы квазаров (QSO) - оптически сильные переменные (OVV) и б) высокополяризованные квазары (HPQ). Блазар характеризуется как очень компактный квазар, связанный с предполагаемой сверхмассивной черной дырой (Super Massive Black Hole) в центре активной гигантской эллиптической галактики. Блазары являются самыми энергетическими объектами во Вселенной [1]. Первоначально объект BL Lac был обнаружен Хоффмейстером [2] как переменная звезда, а позже он был идентифицирован Шмиттом [3] с внегалактическим источником.

Массаро и др. [1] представили каталог блазаров VZCAT v.5, в котором они распределены на 4 типа: VZB (Лацертиды, BL Lac или BLL), VZQ (Квазары), VZG (Галактики) и VZU (Неопределенный класс). В табл.1 дано распределение типов блазаров из каталога VZCAT.

В одной из наших предыдущих работ мы исследовали и классифицировали объекты VZU. Данная работа посвящена детальной спектральной классификации блазаров типа VZG из каталога VZCAT.

**2. Выборка объектов.** Для исследования были отобраны объекты VZG из каталога VZCAT. Из табл.1 видно, что мы имеем 274 галактики. Для 150

Таблица 1

## РАСПРЕДЕЛЕНИЕ ТИПОВ БЛАЗАРОВ ИЗ КАТАЛОГА VZCAT

N	Тип блазара	Число	
		1	BZB
2	BZG	274	7.7 %
3	BZQ	1909	53.6 %
4	BZU	227	6.4 %
Всего		3561	100 %

из 274 BZG объектов имеются оптические спектры в спектроскопическом каталоге SDSS DR16 [4]. Для этих объектов мы провели детальную классификацию, используя спектры SDSS.

Используя данные разных каталогов и баз данных VCV-13 [5], NASA/IPAC Extragalactic Database (NED) и SDSS [4], мы выяснили какую оптическую классификацию имели эти источники до нашей классификации. В табл.2 представлены эти данные.

Как видно из табл.2, эти объекты не имеют детальную оптическую классификацию. Они были классифицированы как галактики, потому что в оптическом диапазоне (на оптических изображениях) имеют протяженный вид. На рис.1 представлены оптические изображения двух таких протяженных блазаров.

Очень часто измерения спектров SDSS основаны на линиях на уровне шума и низкого качества. В результате автоматические измерения приводят к некоторым неправдоподобным результатам. Таким образом, необходимо

Таблица 2

## КЛАССИФИКАЦИЯ BZG ОБЪЕКТОВ ИЗ VCV-13, NED И SDSS

Классификация	SDSS спектры	VCV-13	NASA/IPAC
S1	-	8	5
S2	-	4	1
S3 (LINER)	-	2	-
S?	-	1	-
BL	-	54	49
BL?	-	33	6
QSO	7	2	-
AGN	-	2	-
Galaxy	143	-	-
Flat-Spectrum radio source (FSS)	-	-	21
Всего	150	106	82

тщательно проверить спектры на всех длинах волны и решить, какие измерения следует использовать для дальнейших исследований. Особенно важны те линии, которые используются в диагностических диаграммах ( $H\beta$ ,  $[OIII]$  5007 Å,  $[OI]$  6300 Å,  $H\alpha$ ,  $[NII]$  6583 Å, и  $[SII]$  6716+6731 Å) [6].

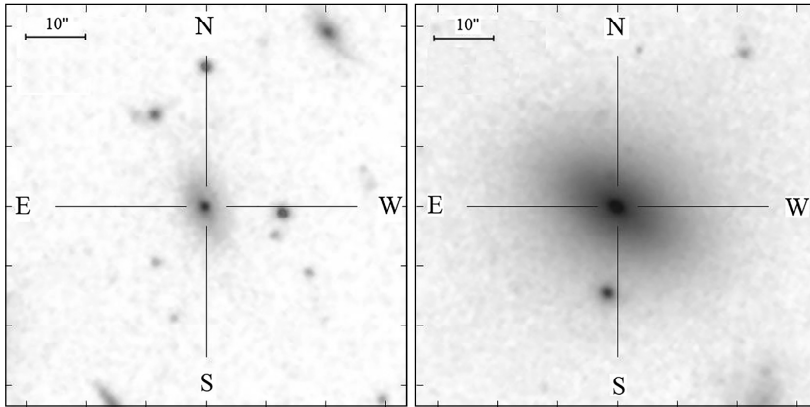


Рис.1. Оптические изображения протяженных блазаров 5BZG J0850+4036 и 5BZG J0906+4124 из SDSS.

**3. Спектральная классификация.** В этой работе было использовано несколько методов для классификации исследуемых спектров [7,8]:

1. Визуальный метод (с учетом всех тонкостей и эффектов, в т.ч. возможных широких линий, не выявляющихся на диагностических диаграммах).
2. Диагностические диаграммы с использованием отношений интенсивностей линий  $[OIII]/H\beta$  и  $[OI]/H\alpha$  [9].
3. Диагностические диаграммы с использованием отношений интенсивностей линий  $[OIII]/H\beta$  и  $[NII]/H\alpha$  [9].
4. Диагностические диаграммы с использованием отношений интенсивностей линий  $[OIII]/H\beta$  и  $[SII]/H\alpha$  [9].

Для этих объектов в спектрах, в основном, линии  $H\alpha$  и  $H\beta$  отсутствовали, поэтому мы выполнили классификации только с визуальным методом.

В табл.3 и на рис.2 приведена наша спектральная классификация для 150 VZG объектов с использованием SDSS спектров.

Из табл.3 и рис.2 видно, что эти объекты в основном являются Em и Abs (около 80%) галактиками и до нас не были классифицированы. 30 (20%) объектов (S, LINER и Composite) не имели оптической классификации или изменили класс, только 5BZG J1532+3020 блазар был классифицирован как LINER и остался как LINER. Итак, можно заключить, что мы даем детальную оптическую классификацию практически для всех 150 объектов.

КЛАССИФИКАЦИЯ VZG ОБЪЕКТОВ С ИСПОЛЬЗОВАНИЕМ  
SDSS СПЕКТРОВ

S1.2	1 (0.7%)
S1.5	1 (0.7%)
S1.8	1 (0.7%)
LINER	18 (12%)
S1.8/LINER	8 (5.2%)
S2.0/LINER	1 (0.7%)
Em	42 (28%)
Abs	78 (52%)
Всего	150 (100%)

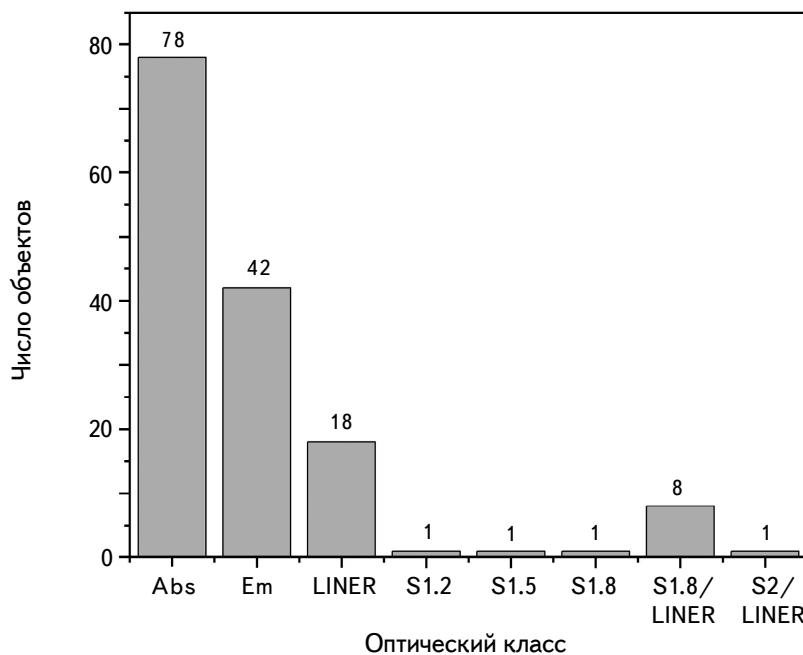


Рис.2. Новая классификация VZG объектов с использованием SDSS спектров.

В табл.4 представлена наша детальная классификация 150 VZG объектов с использованием SDSS спектров.

На рис.3, 4 и 5 представлены типичные спектры VZG объектов типа S, LINER и Composite.

Таблица 4

## СПИСОК 150 VZG ОБЪЕКТОВ, КЛАССИФИЦИРОВАННЫХ С ПОМОЩЬЮ СПЕКТРОВ SDSS

Название объекта (5BZG)	SDSS			Радио спект- ральный индекс	Прежняя оптическая классификация			Новая оптическая классифи- кация
	г	Абсолютная звездная величина	Красное смещение		SDSS	VCV	NED	
J0001-1031	17.846	-21.72	0.2516	-0.2	GAL	BL	-	Abs
J0014+0854	17.191	-21.84	0.1633	-0.6	GAL	BL	FSS	Em
J0022+0006	18.557	-21.25	0.3057	-	GAL	BL	BL Lac	Abs
J0027+2607	18.26	-21.81	0.3645	-0.22	GAL	BL	-	LINER
J0056-0936	15.193	-21.38	0.1031	-0.33	GAL	-	-	Em
J0059-0150	17.135	-21.95	0.1439	-0.18	GAL	-	-	Abs
J0103+1526	17.213	-22.02	0.2461	-0.32	GAL	BL	FSS	Em
J0106+2539	17.41	-21.4	0.1975	0.18	GAL	BL	FSS	LINER
J0146-0551	19.816	-20.99	0.4992	-0.44	GAL	BL	BL Lac	Em
J0153-0118	17.681	-21.96	0.2445	-0.84	GAL	BL?	-	Abs
J0202-0559	17.592	-21.89	0.1895	-0.4	GAL	-	FSS	LINER
J0737+3517	16.665	-22.6	0.2104	-0.97	GAL	?	-	Em
J0741+3205	16.649	-21.9	0.1792	-0.37	GAL	BL	-	Em
J0745+3312	17.329	-22.27	0.2197	-0.85	GAL	-	-	Abs
J0748+2115	17.297	-22.51	0.2631	-	GAL	-	-	Em
J0749+2313	17.026	-22.14	0.1741	-0.43	GAL	BL?	BL Lac?	Em
J0751+2913	17.847	-21.46	0.1944	-	GAL	-	-	Abs
J0751+1730	16.805	-22.51	0.1865	-	GAL	BL	-	LINER
J0753+2921	17.196	-22.17	0.161	-	GAL	BL	-	Abs
J0754+4202	18.998	-21.38	0.3692	-	GAL	BL	BL Lac	Abs
J0754+4546	19.327	-21.37	0.4558	-0.88	GAL	-	-	Abs
J0756+3834	16.968	-22.3	0.2156	-0.65	GAL	-	-	S1.8/LINER
J0758+2705	17.224	-21.56	0.0987	-0.01	GAL	BL	BL Lac	LINER
J0809+3122	18.848	-21.02	0.2956	-0.57	GAL	BL	BL Lac	Em
J0809+3455	15.841	-21.75	0.0825	-0.32	GAL	BL	BL Lac	Em
J0810+4911	15.644	-22.69	0.1147	-	GAL	BL	-	Abs
J0810+2846	19.044	-21.11	0.2717	-	GAL	BL	BL Lac	Abs
J0814+0857	19.457	-20.94	0.24	-	GAL	BL	-	Abs
J0823+1524	17.121	-22.12	0.1667	-	GAL	-	-	Em
J0828+4153	17.484	-21.96	0.226	-0.58	GAL	?	BL Lac	Abs
J0829+1754	15.622	-21.96	0.0895	-0.37	GAL	BL?	-	Em
J0831+5400	15.301	-21.91	0.0617	0.51	GAL	-	-	LINER
J0834+5534	17.186	-21.62	0.2415	-0.15	QSO	S2	-	LINER
J0835+1517	16.71	-22.06	0.1684	0.05	GAL	-	FSS	Em
J0839+4015	16.854	-22.01	0.1941	-0.53	GAL	-	-	Abs
J0850+4036	17.43	-22.11	0.2666	0.03	GAL	-	FSS	Em
J0850+3455	16.194	-22.12	0.145	-0.1	GAL	BL	BL Lac	Abs
J0852+2433	18.305	-21.5	0.3576	-0.48	GAL	BL	BL Lac	Abs
J0856+5418	16.708	-22.75	0.2593	-0.7	GAL	-	-	Abs

Таблица 4 (Продолжение)

1	2	3	4	5	6	7	8	9
J0857+0627	19.289	-20.89	0.3379	-	GAL	BL?	BL Lac	Abs
J0903+4055	17.128	-22.19	0.1882	-0.37	GAL	BL?	BL Lac	Abs
J0905+4705	16.794	-22.33	0.1736	-0.23	GAL	-	FSS	Em
J0906+4124	13.663	-21.52	0.0274	0.25	GAL	-	FSS	Em
J0912+5320	15.937	-22.13	0.1017	-0.43	GAL	S2	Sy 2	LINER
J0912+4235	17.689	-22.19	0.2662	-0.88	GAL	-	-	Abs
J0916+5238	16.859	-22.33	0.1904	-0.61	GAL	BL	-	Em
J0927+5545	17.425	-21.97	0.221	-0.54	GAL	-	-	Abs
J0932+3630	16.702	-22.19	0.1538	-0.53	GAL	BL?	-	Em
J0940+6148	17.653	-21.88	0.2105	-	GAL	BL	BL Lac	Abs
J0946+5819	16.053	-22.59	0.1469	-0.42	GAL	-	-	Em
J0948+5535	15.82	-22.66	0.1176	-0.2	GAL	-	-	Em
J0950+1804	17.705	-21.37	0.1544	0.14	GAL	-	FSS	LINER
J1012+3932	17.343	-22.02	0.1709	-0.07	GAL	BL?	BL Lac	Abs
J1018+3128	16.891	-22.1	0.1614	-	GAL	BL?	BL Lac?	Abs
J1020+6250	17.759	-22.01	0.2496	-0.28	GAL	BL	BL Lac	Abs
J1022+5124	17.574	-21.57	0.1416	-	GAL	-	-	LINER
J1028+0555	18.584	-21.2	0.2336	-	GAL	BL?	BL Lac	Abs
J1028+1702	16.763	-22.18	0.1691	-0.58	GAL	-	-	Abs
J1033+4222	17.337	-22.33	0.211	-0.45	GAL	BL?	BL Lac	Abs
J1041+1324	18.47	-21.47	0.3748	-0.48	GAL	BL	-	Abs
J1041+3901	17.179	-22.26	0.2084	-0.43	GAL	BL?	BL Lac	Abs
J1048+5009	19.121	-20.87	0.4025	-	GAL	BL?	BL Lac	Abs
J1052+4241	16.749	-21.92	0.1362	-0.2	GAL	-	FSS	LINER
J1053+4929	16.014	-21.93	0.1405	-0.29	GAL	BL	BL Lac	Em
J1056+0252	18.026	-21.61	0.236	-	GAL	BL	BL Lac	Abs
J1059+4343	18.728	-21.75	0.4587	-0.46	GAL	BL?	-	Abs
J1100+4210	18.139	-21.61	0.3229	-	GAL	BL?	BL Lac?	Abs
J1103+0022	18.045	-21.53	0.2745	-0.37	GAL	BL	BL Lac	Em
J1105+4653	17.259	-21.26	0.1125	-0.25	GAL	-	-	LINER
J1108+0202	16.621	-22.29	0.1576	-0.36	QSO	S1	-	S2.0/LINER
J1119+0900	17.504	-22.8	0.3315	-0.72	GAL	-	-	Em
J1121+4314	17.023	-22.03	0.1854	0.05	GAL	-	-	LINER
J1124+5133	16.79	-22.56	0.235	-0.25	GAL	BL	-	Em
J1132+0515	16.181	-21.76	0.1008	0.11	GAL	S2	-	LINER
J1136+2550	16.779	-21.94	0.1544	-	GAL	BL	BL Lac	Em
J1145-0340	17.11	-22.07	0.1678	-	GAL	BL	BL Lac	Abs
J1147+3501	14.581	-22.2	0.0629	0.17	GAL	S2	FSS	S1.8
J1154+0238	17.841	-21.66	0.2107	-0.3	GAL	S1	FSS	S1.8/LINER
J1154+1225	15.825	-21.3	0.0811	0.55	GAL	-	FSS	LINER
J1156+4238	17.155	-21.95	0.1716	-	GAL	BL	BL Lac	Abs
J1157+2822	17.882	-21.91	0.3	-	GAL	-	-	Abs
J1158+2450	17.684	-21.83	0.2026	0.06	QSO	-	FSS	S1.8/LINER
J1200+4758	17.811	-22.02	0.2695	-0.87	GAL	-	-	Em
J1201-0007	16.868	-22.13	0.1651	-0.72	GAL	BL?	-	Abs
J1201-0011	18.607	-20.4	0.1637	-	GAL	-	-	Abs
J1210+0223	18.044	-22.38	0.3832	-0.89	GAL	-	-	Abs

Таблица 4 (Продолжение)

1	2	3	4	5	6	7	8	9
J1221+4742	17.504	-21.99	0.2098	-0.58	GAL	BL?	BL Lac	Abs
J1221+0821	17.106	-21.86	0.1318	-0.48	GAL	BL?	BL Lac?	Em
J1223+4650	17.706	-22.03	0.2605	-	GAL	BL?	-	Abs
J1226+2604	17.461	-22.09	0.1761	-	GAL	BL	BL Lac	Abs
J1233+5026	17.529	-21.86	0.2068	-0.51	GAL	-	FSS	Em
J1235+1700	18.767	-21.36	0.3806	-0.49	GAL	-	-	Abs
J1238+5406	17.338	-22.18	0.2237	-0.34	GAL	BL	BL Lac	Abs
J1243+5212	17.301	-22	0.1998	-0.26	GAL	-	-	Abs
J1253+0326	14.789	-20.8	0.0657	-0.25	GAL	BL?	BL Lac	Abs
J1322+1344	18.724	-21.5	0.3763	-	GAL	-	-	Abs
J1323+0439	17.9	-20.82	0.2244	-0.36	GAL	BL	BL Lac	Abs
J1324+5739	15.811	-22.55	0.1151	-0.06	GAL	BL	-	Em
J1326+1229	17.395	-21.99	0.2042	-	GAL	BL	BL Lac	Em
J1331+5655	18.444	-21.25	0.2701	-	GAL	BL?	BL Lac	Abs
J1341+3959	17.492	-21.98	0.1714	-0.56	GAL	BL	BL Lac	Em
J1341+3716	16.735	-22.21	0.1745	-0.35	GAL	-	FSS	Abs
J1346+2440	17.316	-21.77	0.1675	-0.05	GAL	BL	BL Lac	Abs
J1348+0756	17.07	-22.28	0.2496	-0.46	GAL	-	-	Abs
J1353+3741	16.769	-22.17	0.2159	-0.09	GAL	BL	BL Lac	Abs
J1424+3705	17.579	-22.12	0.2896	-0.64	GAL	BL?	-	Abs
J1427+3908	18.277	-21.06	0.1649	-	GAL	BL?	BL Lac	Em
J1428+3912	17.668	-21.98	0.2583	-0.48	GAL	S1	FSS	LINER
J1435-0055	18.17	-21.53	0.2851	-	GAL	BL	BL Lac	Abs
J1435+5815	18.339	-21.43	0.3027	-0.31	GAL	BL	-	Abs
J1436+4129	19.92	-20.27	0.4035	-0.26	GAL	BL?	BL Lac	Abs
J1444+6336	18.497	-21.43	0.2979	-	GAL	BL	BL Lac	Abs
J1445+0039	17.927	-21.86	0.3062	-	GAL	-	-	Em
J1449+2746	18.162	-21.58	0.2272	-0.65	GAL	BL	FSS	Em
J1451+5800	18.821	-21.54	0.4052	-	GAL	BL	BL Lac	Abs
J1504-0248	16.591	-21.65	0.2169	-0.84	GAL	S1	Sy 1	LINER
J1506+0219	17.93	-21.46	0.2202	-	GAL	-	-	Abs
J1512+0203	17.648	-21.54	0.2199	-0.65	GAL	S1	Sy 1	S1.8/LINER
J1516+0015	14.802	-22.11	0.0526	-0.41	QSO	S3	FSS	S1.8/LINER
J1516+2918	16.323	-22.15	0.1299	-0.48	GAL	BL?	-	Abs
J1518+4045	15.075	-21.83	0.0652	-0.36	GAL	S1	Sy 1	S1.8/LINER
J1531+0852	16.883	-22.11	0.1584	-	GAL	-	-	Abs
J1531+4659	18.086	-21.66	0.316	-0.14	GAL	BL?	BL Lac	Abs
J1532+3016	15.435	-21.78	0.0653	-0.05	GAL	BL?	BL Lac?	Em
J1532+3020	17.421	-21.72	0.3621	-0.28	GAL	S3	-	LINER
J1539+4143	15.287	-22.89	0.1194	-0.11	GAL	BL?	-	Em
J1544+0458	18.372	-21.46	0.3262	0.08	GAL	?	BL Lac?	Abs
J1544+5017	19.841	-21	0.494	0.24	GAL	-	-	Em
J1552+3159	20.799	-20.46	0.5843	-	GAL	-	-	Abs
J1604+3345	17.229	-21.64	0.1772	-	GAL	-	-	Abs
J1616+3756	18.038	-21.71	0.202	-	GAL	BL	BL Lac	Abs
J1624+3726	17.363	-21.81	0.1992	-0.63	GAL	BL	-	Abs
J1628+2527	17.28	-22.18	0.2199	-0.6	GAL	BL?	-	Abs

Таблица 4 (Окончание)

1	2	3	4	5	6	7	8	9
J1637+4547	17.211	-22.12	0.1922	-0.69	GAL	BL	BL Lac	Em
J1643+2131	18.881	-20.52	0.1544	-	GAL	-	-	Abs
J1644+4546	17.224	-22.25	0.2246	-0.41	GAL	BL	BL Lac	Em
J1647+2909	16.102	-22.25	0.133	-0.66	GAL	-	-	Em
J1717+2931	18.061	-21.3	0.278	-	GAL	-	-	S1.8/LINER
J1727+5510	17.203	-22.09	0.2475	0.15	QSO	S?	FSS	S1.8/LINER
J2054+0015	17.099	-21.92	0.1508	-0.02	GAL	BL	FSS	Em
J2055-0506	18.385	-21.28	0.3425	-0.07	GAL	BL	BL Lac	Em
J2059-0037	18.802	-21.23	0.3354	-	GAL	BL	-	Abs
J2116-0628	18.495	-21.42	0.2915	-	GAL	BL	BL Lac	Abs
J2211-0023	19.313	-20.85	0.4479	-	GAL	BL	BL Lac	Abs
J2248-0036	17.337	-22.12	0.2123	-0.37	GAL	BL	BL Lac	Abs
J2256+2618	17.139	-21.64	0.1203	0.01	QSO	S1	Sy 1	S1.5
J2311-0946	19.844	-21.07	0.4901	-	GAL	BL?	-	Abs

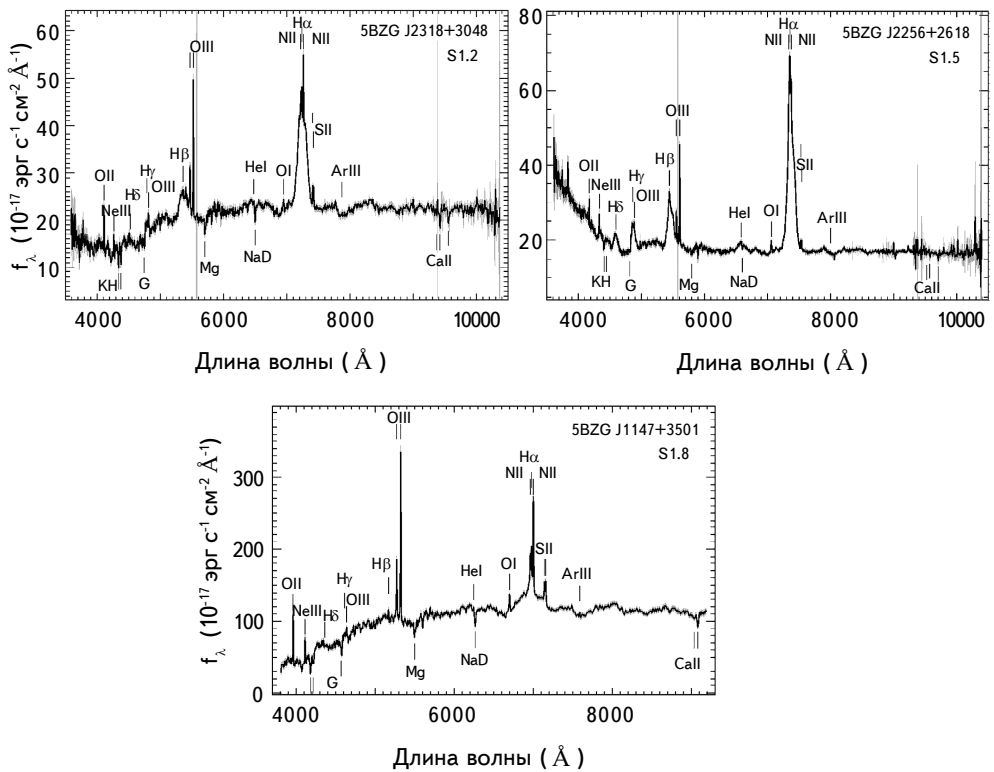


Рис.3. Сейферты.

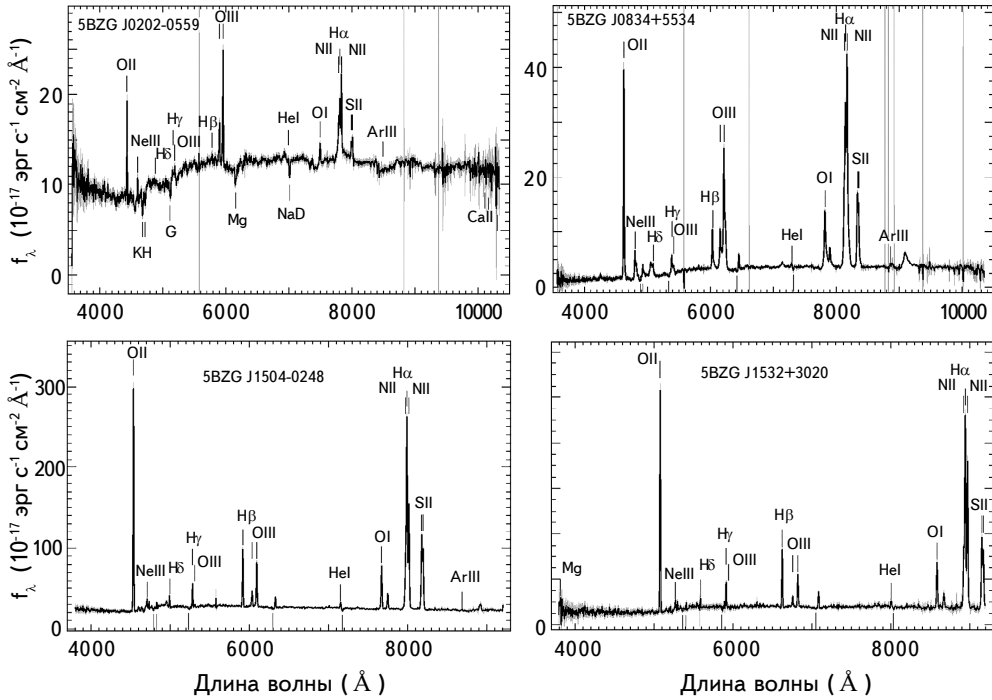


Рис.4. Лайнеры (LINERs).

4. *Радио/оптические свойства VZG.* Для наших объектов была рассчитана абсолютная звездная величина (для SDSS\_r диапазона), используя формулу:

$$M = m + 5 - 5\log(D) - k + \Delta m(z), \quad (1)$$

где  $D$  - расстояние до объекта [10]. Параметры  $k$  и  $\Delta m(z)$  были взяты из работы Верон-Сетти и Верона [5]. Расстояния до объектов были рассчитаны, используя эти космологические параметры:  $H_0 = 71 \text{ км с}^{-1} \text{ Мпс}^{-1}$ ,  $\Omega_M = 0.29$ ,  $\Omega_\Lambda = 0.71$  и оптический спектральный индекс  $\alpha = -0.3$  ( $S \sim 9^{-\alpha}$ ) [5].

Таблица 5

АБСОЛЮТНАЯ ЗВЕЗДНАЯ ВЕЛИЧИНА, РАДИОСПЕКТРАЛЬНЫЙ ИНДЕКС И КРАСНОЕ СМЕЩЕНИЕ ДЛЯ VZG ОБЪЕКТОВ

Параметры объектов	Диапазон	Среднее значение
Абсолютная звездная величина (SDSS_r)	$-20.27 \div -22.89$	-21.79
Радио спектральный индекс	$-0.97 \div 0.55$	-0.34
Красное смещение	$0.0274 \div 0.5843$	0.2235

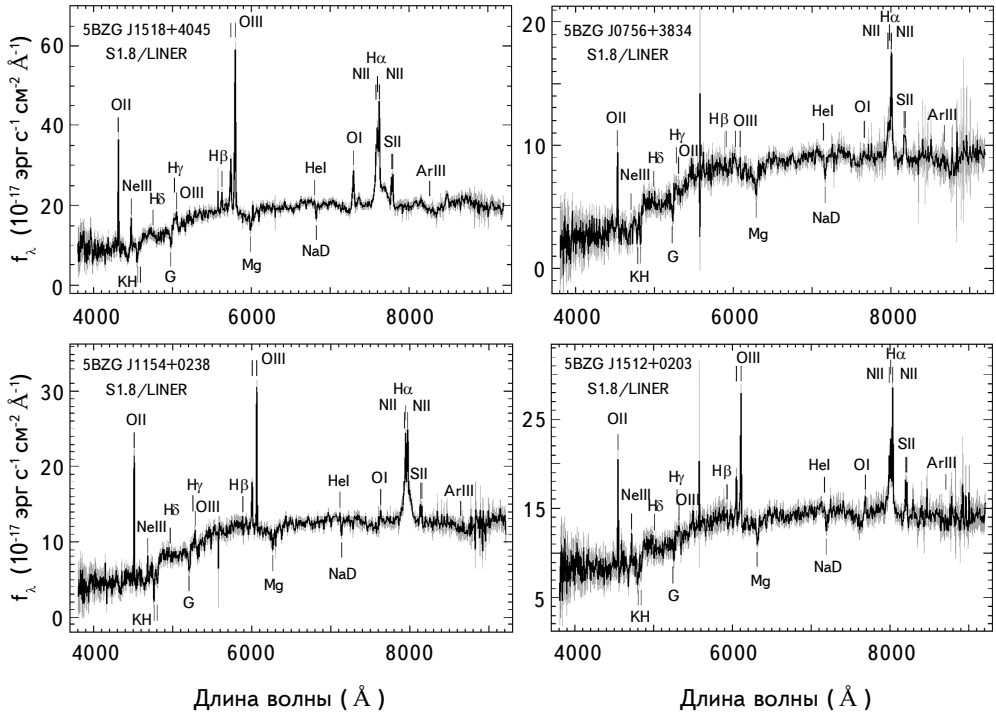


Рис.5. Объекты с составными спектрами (Composite spectrum objects).

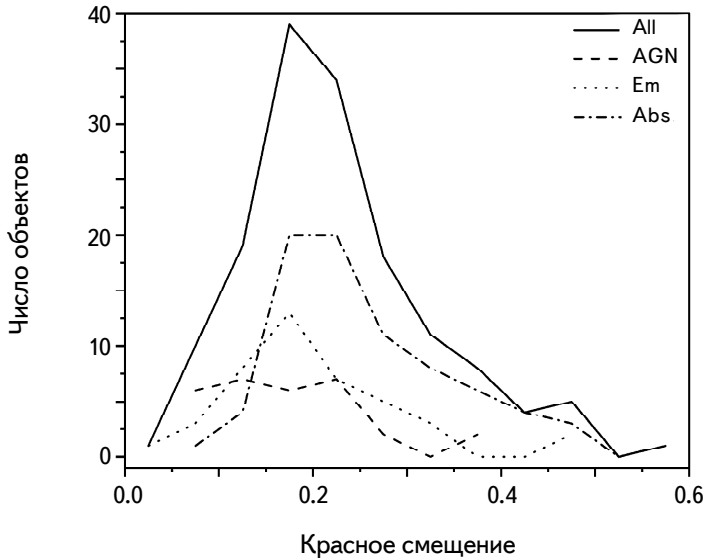


Рис.6. Распределение по красному смещению для 150 исследуемых объектов.

$$D = \frac{c}{H_0} (1+z) \int_0^z [\Omega_M (1+z)^3 + \Omega_\Lambda]^{0.5} dz, \quad (2)$$

где  $z$  - красное смещение,  $k = -2.5 \log(1+z)^{1-\alpha}$  а  $\Delta m(z)$  поправка  $k$ , которая зависит от  $z$  [5].

В табл.5 даны наши расчеты по абсолютным звездным величинам. А также есть информация о радиоспектральных индексах, которые были взяты из каталога SPECFIND [11].

На рис.6 дано распределение по красному смещению для 150 исследуемых объектов.

Из табл.5 и рис.6 видно, что исследуемые объекты имеют красные смещения до 0.6. На рис.6, в класс AGN входят Лайнеры (LINER), Сейфрты (S) и составные (Composite).

На рис.7 мы построили диаграмму зависимости звездной величины от цвета. Как и на рис.6, здесь (на рис.7) тоже в класс AGN входят Лайнеры

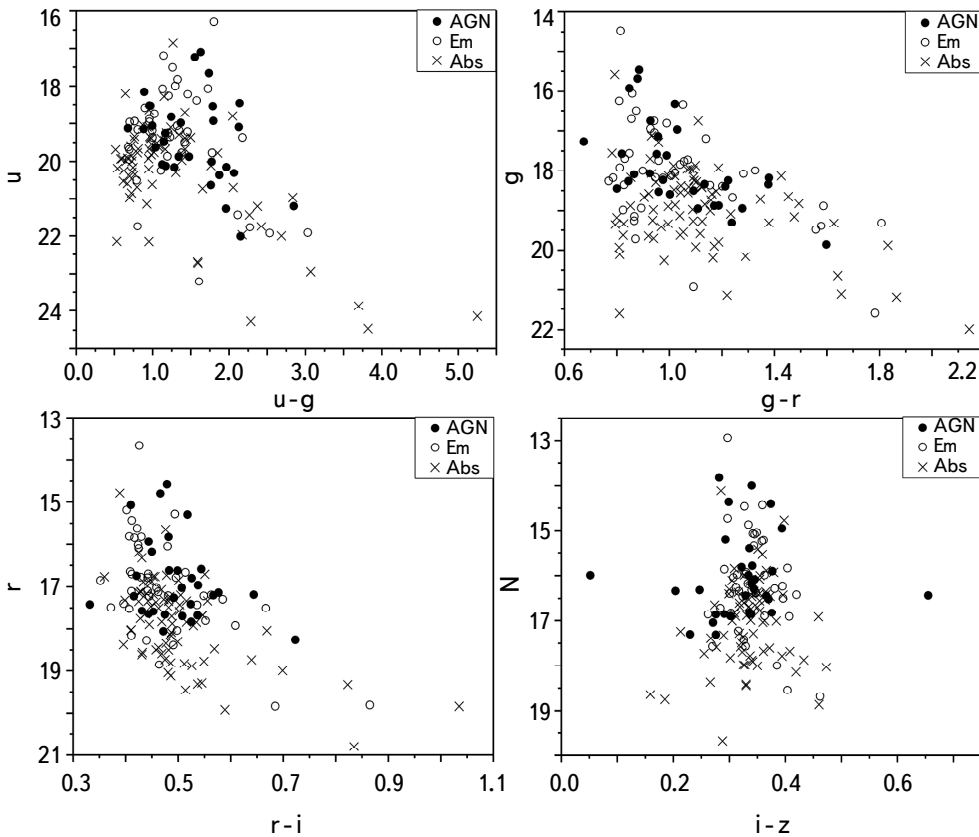


Рис.7. Зависимость звездной величины от цвета,

(LINER), Сейферты (S) и составные (Composite). На рисунке видно, что объекты, которые имеют абсорбционные спектры, в среднем отличаются от объектов, у которых спектры классифицированы как Em и AGN.

5. *Результаты.* Для выяснения оптической природы протяженных блазаров, были выбрали объекты BZG из каталога BZCAT. Из каталога SDSS для 150 из 274 BZG объектов имеются оптические спектры, для которых была проведена детальная спектральная классификация. На рис.3, 4 и 5 видно, что из 150 объектов 30 (20%) имеют качественные оптические спектры. Мы дали новую детальную спектральную классификацию для 149 объектов и лишь один объект остался с прежней классификацией как LINER.

Радио исследование показало, что из 150 объектов 104 имеют радио спектры. Из табл.5 видно, что эти объекты в основном имеют плоский радио спектр (69%). У таких объектов, в радио спектрах, значение радиоспектрального индекса меньше, чем  $\pm 0.5$ . С такими радио спектрами доминируют квазары, т.е. исследуемые объекты должны быть родственными, скорее всего Сейфертовскими галактиками (объекты, классифицированные как Em) и скрытыми AGN (объекты, классифицированные как Abs).

Из табл.3 видно, что из 150 объектов 78 имеют Abs спектры, хотя они в каталоге BZCAT представлены как BZG объекты. Наше детальное радио и оптическое исследование этих объектов показало, что у них радио потоки (1400 МГц, FIRST) в среднем составляют 0.16 часть оптического потока (SDSS\_r). А также из 78 объектов 66 являются источниками рентгеновского излучения. Это еще раз подтверждает наше предположение о том, что эти объекты могут являться скрытыми AGN.

Работа выполнена при поддержке Комитета по науке РА, в рамках исследовательского проекта No. 21AG-1C053 "Выявление ранних стадий эволюции галактик с помощью многоволнового изучения активных галактик (2021-2026) и гранта Национального фонда науки и образования Армении (ANSEF) PS-astroex-2597 "Поиск и исследование рентгеновских галактик высокой светимости (2022-2023).

НАН РА Бюраканская астрофизическая обсерватория им. В.Амбарцумяна (БАО), Армения, e-mail: abrahamyanhayk@gmail.com

OPTICAL CLASSIFICATION OF BZG OBJECTS FROM  
BZCAT BLAZAR CATALOGH.V.ABRAHAMYAN, A.M.MICKAELIAN, G.M.PARONYAN,  
G.A.MIKAYELYAN, A.G.SUKIASYAN

In the catalogue of blazars BZCAT, objects are divided into 4 types: BZB, BZQ, BZG and BZU. In this work we investigate BZG objects with a purpose of revelation of their physical nature. 150 out of 274 BZG objects have optical spectra in the SDSS spectroscopic catalog and a detailed spectral classification for these objects has been carried out. Radio study shows that these objects mainly (69%) have a flat radio spectrum. For such objects, in the radio spectra, the value for the radio spectral index is less than  $\pm 0.5$ . Objects with such radio spectra are dominated by quasars. However, with the increase of redshift, radio spectrum in average becomes steeper.

Keywords: *blazar: quasar: optical spectral classification: radio spectral index*

## ЛИТЕРАТУРА

1. *E.Massaro, A.Maselli, C.Leto et al.*, *Astrophys. Space Sci.*, **357**, 1, 2015.
2. *C.Hoffmeister*, *Astron. Nachr.*, **236**, 233, 1929.
3. *J.L.Schmitt*, *Nature*, **218**(5142), 663, 1968.
4. *R.Ahumada, C.Prieto, A.Almeida et al.*, *Astrophys. J. Suppl. Ser.*, **249**, 1, id.3, 2020.
5. *M.P.Véron-Cetty, P.Véron*, *Astron. Astrophys.*, **518**, A10, 2010.
6. *D.E.Osterbrock*, *Proc. Texas Symposium on Relativistic Astrophysics*, 9th, Munich, West Germany, Dec 14-19, 1978, New York, New York Academy of Sciences, 22, 1980.
7. *A.M.Mickaelian, H.V.Abrahamyan, G.M.Paronyan et al.*, *Front. Astron. Space Sci.*, **7**, article 505043, 1-8, 2021.
8. *A.M.Mickaelian, H.V.Abrahamyan, G.A.Mikayelyan et al.*, *ComBAO*, **69**, 10, 2022.
9. *A.E.Reines, J.E.Greene, M.Geha*, *Astron. J.*, **755**, 2, 2013.
10. *A.G.Riess, L.-G.Strolger, J.Tonry et al.*, *Astrophys. J.*, **607**, 665, 2004.
11. *Y.Stein, B.Vollmer, T.Boch et al.*, *Astron. Astrophys.*, **655**, id.A17, 28, 2021.